

III—7 海岸鉄道護岸の基礎洗掘について

宮崎大学 工学部 正員 吉高 益男
学生員 ○伊比井 保訓
牛山 初彦

はじめに 海岸護岸や防波堤などの設計・施工にあたって、基礎部の洗掘は必ず考慮しなければならぬ重要な要素の一つである。しかし、その現象は複雑であり、また、現地観測も困難なため、従来から実験的手法が用いられ、新しい見解が示されてきている。しかししながら、波による底質移動の実験は実現するかが困難であり、論文にまではデーターが違うなどの問題がある。それで、われわれは少しでも多くめざして正確な実験を始めたところより実験を開始した。特に、今までの実験は初期海浜勾配が $1/10$ であるものが多いため、そこで $1/20$ にしておこなったところ、洗掘量の表現に碎波指標が用いられるかといふ結論に近づいたので、ここに報告する。

実験方法 長さ 30m, 幅 1.15m, 深さ 1.2m の 2 次元波動水槽を中 0.4m に仕切り、一端に比重 2.74, 中央粒径 $d_{50} = 0.26\text{ mm}$ の均一砂を敷いた $1/20$ 勾配の傾斜部を設けて実験を行った。まず、一定の波を 7~10 秒作用させて平衡海浜を作り、その後適当な位置に鉛直板を設置し、再び同じ波を作用させ無堤防と同様に地形変化が止まるまで実験を続けた。その後、所定の時間ごとに地形と波高をウニタ式砂面計と質量式波高計で測定した。なお、水平距離 X は平衡海浜の汀線から測定し、右は碎波点の距離である。

実験の種類は図-1 に○印で示されている。これらは佐藤・田中ら(運輸研究所)¹⁾, 郡田・岩佐(鳥取大学)²⁾の実験の範囲も示した。これらの実験の初期海浜勾配は $1/10$ である。

実験結果および考察

平衡海浜 $1/20$ 勾配の平衡海浜と $1/10$ 勾配の実験(鳥取大)

と比較してみると図-2 のようである。平衡海浜には step が、暴風浪浜には loop が現れる。平衡海浜では step が、暴風浪浜では loop が現れる。このうち洗掘量などに大きな差があることは予想される。しかし、碎波点(B.P.)はほど 2 倍に落ちておらず、距離方向では X_b で無次元化して整理すれば、その傾向が示されると思われる。また、碎波指標 H_b/H_0 は勾配が急なほど小さいことから、勾配の差は碎波水深で整理できらかと考えた。しかし、測定碎波水深 h_b は、当然碎波指標上下に大きくばらつく。これが実験上の問題点でもある。そこで、測定碎波水深をもつて洗掘量を無次元化すれば、その問題が残ることとして、碎波指標を求めた上で碎波水深 h_b を使用する。

地形・波高の場所変化 図-3 に実験 I ($H_0: 0.011$, $H_0/d_{50}: 180$) を例示する。波高比 H/H_0 の大きさは H_0/d_{50} である。重複波の $40d_{50}$ では水平往復速度が極めて大きいので、底質の動きが大きい。loop では底質の移動は少ないが、結局 H/H_0 が小さくなる場所が堆積地となり、 sh/H_0 と H/H_0 の位相は図では互に対応している。護岸を汀線上に設置した場合 ($X/X_b=0$) は以上の傾向が止まらないが、沖に移すと位相のずれが生じる。

図-1 実験の種類

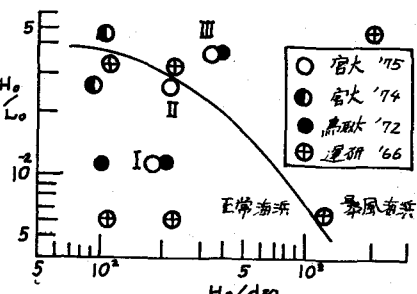
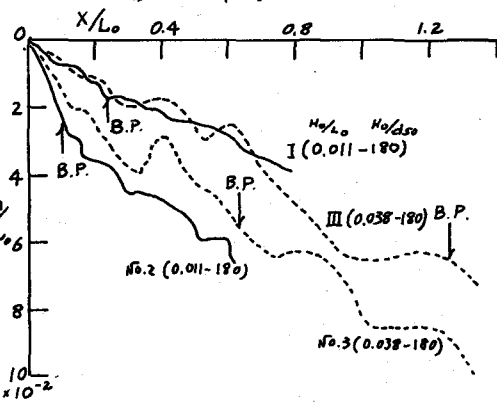


図-2 平衡海浜



碎波壁に設置しない場合

$(X/X_b=1.0)$ は傾向偏差 1.0 にちる。実験時間加算で不足したところを補うと、平衡渦流の形の影響が大きくなるといえる。

荒堤量の時間変化

周期 T によって整理した堤防下の荒堤量を図-4 に示す。荷風変化の様子は正常渦流 I と暴風渦流 III とで違つてゐる。正常渦流では

汀線装置以外は意図的流速をうけたが、暴風渦流では流速は徐々にあこす。その境界にある実験 II では変化がよりゆるやかであり、変化時間も長い。 t/T が 1.5×10^4 でよう一定値に落ち着く。

最終荒堤量

まだ実験時間が不足してないところか、図-4 の最終値を用いて基礎荒堤量をみると図-5-1 にちる。これには馬鹿大・運転の値を併記した。正常渦流の $X/X_b > 0.5$ では傾向と量はほとんど同じであるが、初期勾配による差は大きい。 $X/X_b = 0$ の差は大きい。初期勾配が小さざりと、汀線までの間の後のエッタルギーの減少が強く、荒堤量が二つ次碎波も小さいから打上げ波にちり積積をあこすようであつた。暴風渦流では運動の実験と傾向は同じであるが、初期勾配の影響が明らかであつて。いま、波高 H_0 の割わりに碎波指標 $\delta_3 h_b$ を用いると図-5-2 にちる。正常渦流で碎波壁に設置しない場合はやはり ah/h_b にちるが、岸の方に移してゆくと初期勾配が小さざりと荒堤量は小さい傾向にある。実験 III の $X/X_b = 0.5$ を除くと暴風渦流でも同じことである。この通り、荒堤量に対する初期勾配(その平衡渦流)の影響を考慮した場合、パラメーターカーフとして碎波指標があらわされるといえよう。

場所的には海流に荒堤量の極大値 ah_m をあめると図-6 がようにならう。正常渦流のとき、 $1/10$ 勾配では ah_m/h_b は 1.2 であり、 $1/20$ 勾配では小さくなるのはわかるうが。暴風渦流のときは、 $1/20$ 勾配も含めて H_0/d_{50} が大きくなるほど ah_m/h_b は小さくなるようだ。なお、極大値は汀線と碎波壁との間の中央にあることから多い。

あとに

現在、平衡渦流を作ること 100 回以上必要であるといふ説もある。この実験で日起收得不完全に對する改良があり最終渦流をこなしていける傾向もあつた。今後は設備を改善し、より明確な結論が出て実験を行つてみよう。今あるこの実験には根本博史を参加してもらひ付託する。〔文献1〕佐藤昭二・田中則男・八江功：直立整礁構造物による二次元荒堤実験、第13回沿岸工学講演会論文集、pp.156-161。2) 鶴庭英明・岩佐敏一：渦流構造と堤防の相互作用、第4回海岸工学講演会論文集、pp.53-57]

図-3 地形波高の場所変化
(実験 I)

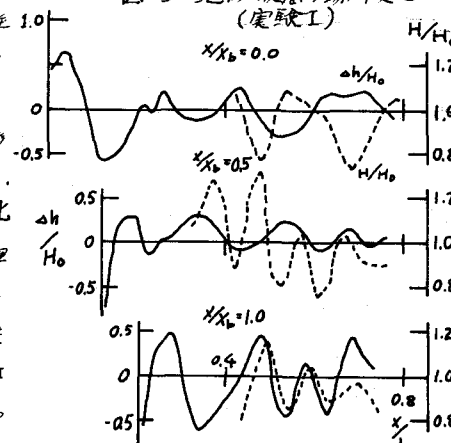


図-4 基礎荒堤の時間変化

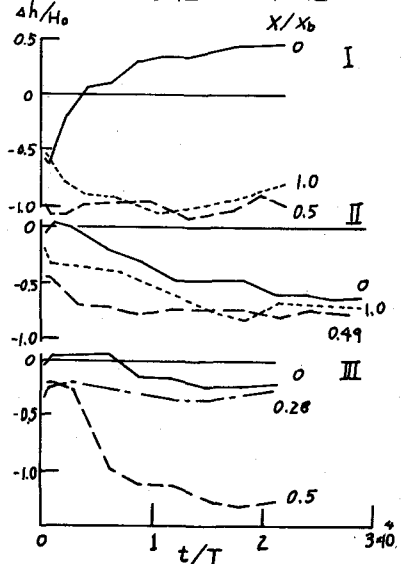


図-5 設置場所 X による
荒堤量 ah

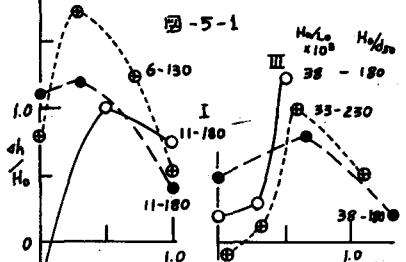


図-5-2 ○ 宮大 -1/10
● 運転 ● 馬鹿大 -1/10

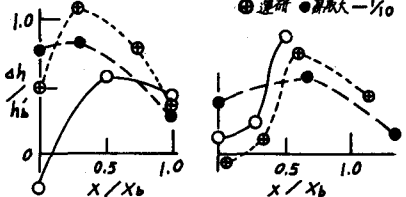


図-6 極大荒堤量 ah_m

